Кафедра Радиотехнических систем (РТС)

Математическое моделирование РТУ и С

Лекция 11. Моделирование нелинейных звеньев

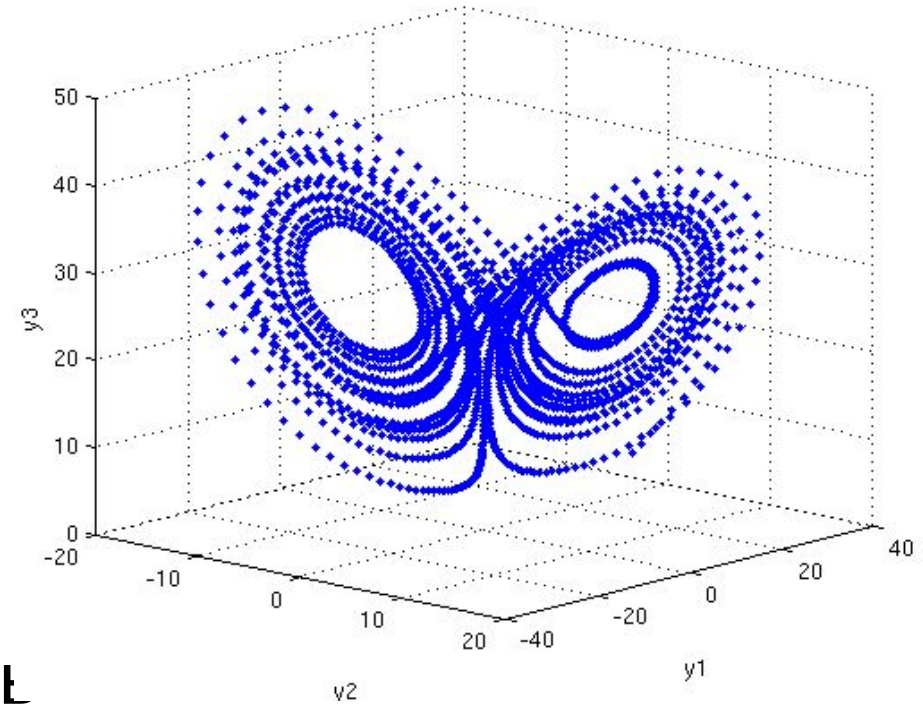

Преподаватель:
к.т.н. старший преподаватель
кафедры РТС Захарова Елена Владимировна

Литература

Монаков А.А. Основы математического моделирования радиотехнических систем. Учебное пособие. – СПб.: ГУАП, 2005. – 100с.

Глава 2, раздел 2.2. Моделирование нелинейных систем

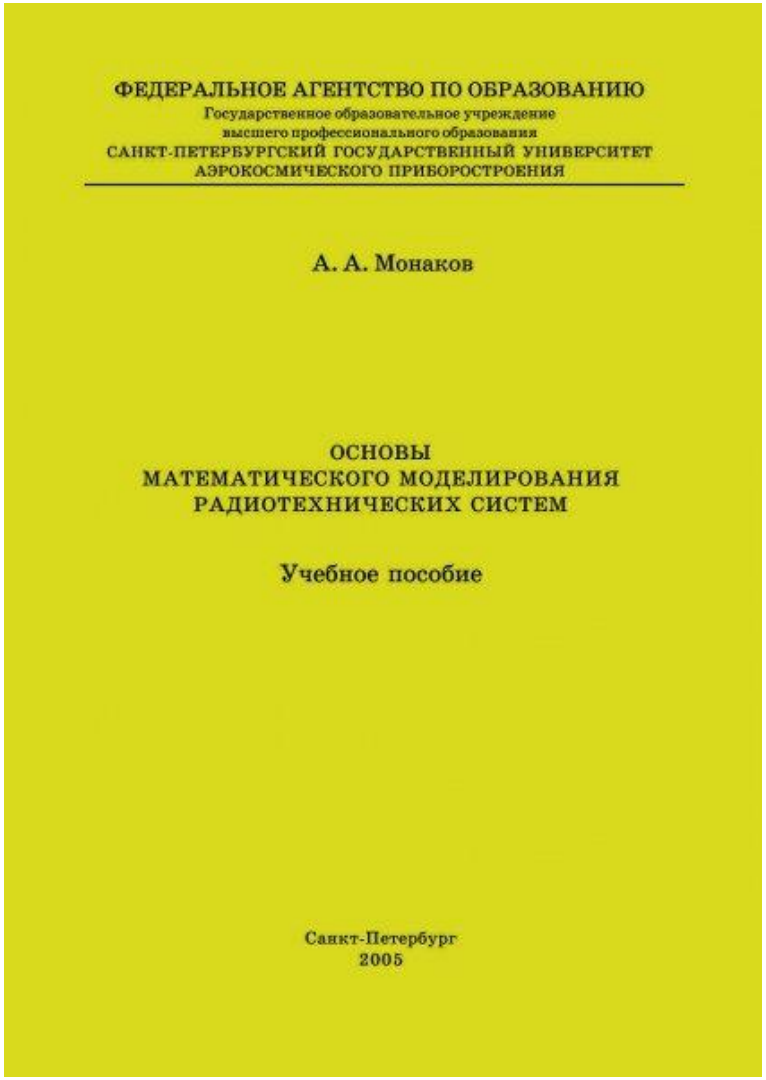

Литература

Дьяконов В. П.
MATLAB 7.*/R2006/R2007: Самоучитель. – М.: ДМК Пресс, 2008. – 768 с.: ил.

Урок 8. Программные средства численных методов

Нелинейные звенья

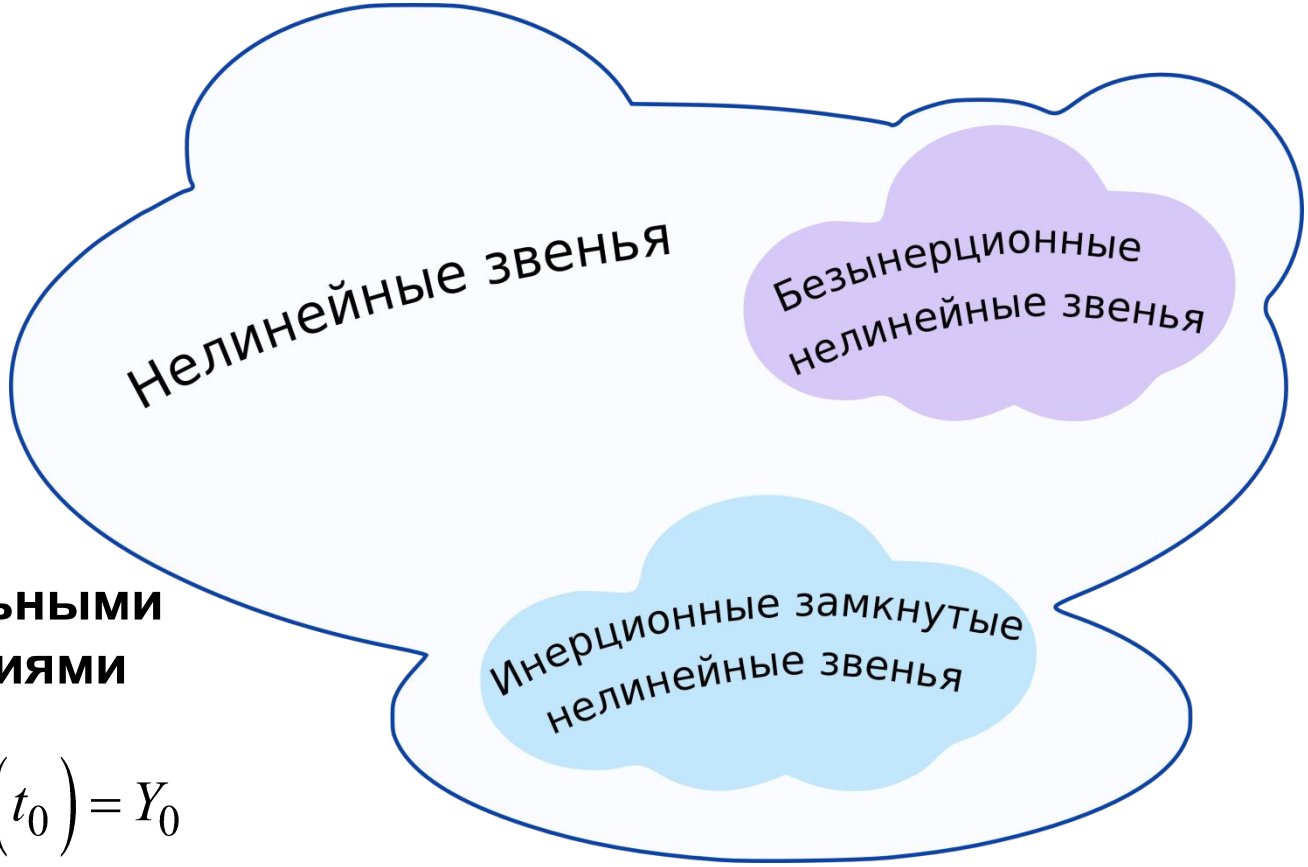

В общем случае описываются нелинейными дифференциальными уравнениями

$$\frac{dY}{dt} = F(t, Y),\ Y(t_0) = Y_0$$

Но есть частные случаи, для которых задача упрощается:

- **безынерционные звенья (исчезают производные)**
- **инерционные замкнутые (работает курс**

Нелинейные звенья

Таблица − Типовые звенья радиоавто

Название	**Дифференциальное уравнение**	**Передаточная функция**
Идеальное усилительное (безынерционное)	$y = kx$	$W = k$
Апериодическое (инерционное)	$(1 + pT)y = kx$	$W = \frac{k}{1 + pT}$
Апериодическое (инерционное) второго порядка	$(p^2T_2^2 + pT_1 + 1)y = kx$, где $T_1 \geq 2T_2$, $\xi > 1$	$W = \frac{k}{p^2T_2^2 + pT_1 + 1} = \frac{k}{(1 + pT_3)(1 + pT_4)}$, где $T_{3,4} = \frac{T_1 \pm \sqrt{T_1^2 + 4T_2^2}}{2}$
Колебательное	$(p^2T_2^2 + 2p\xi T_1 + 1)y = kx$, где $0 < \xi < 1$	$W = \frac{k}{p^2T_2^2 + 2p\xi T_1 + 1}$
Консервативное	$(p^2T_2^2 + 1)y = kx$	$W = \frac{k}{p^2T_2^2 + 1}$

Нелинейные звенья

Таблица − Типовые звенья радиоавтоматики (продол›

Название	Дифференциальное уравнение	Передаточная функция
Интегрирующее	$py = kx$	$W = \frac{k}{p}$
Дифференцирующее	$y = kpx$	$W = kp$
Форсирующее первого порядка	$y = k(1 + p\tau)x$	$W = k(1 + pT)$

$$W(p) = \frac{b_m p^{(m)} + b_{m-1} p^{(m-1)} + \ldots + b_0}{a_n p^{(n)} + a_{n-1} p^{(n-1)} + \ldots + a_0}$$

$$W(p) = \prod_i K_i \cdot \frac{\prod_j (T_j p \pm 1) \cdot \prod_k (T_k^2 p \pm 2\xi_k T_k p \pm 1)}{p^n \cdot \prod_l (T_l p \pm 1) \cdot \prod_m (T_m^2 p \pm 2\xi_m T_m p \pm 1)}$$

Безынерционные звенья

Дано звено

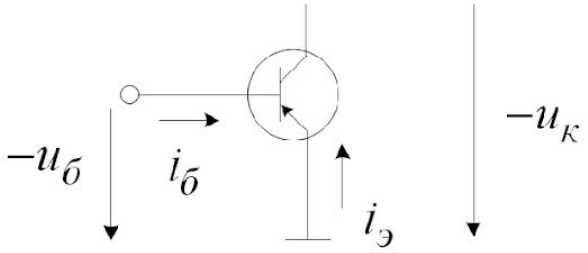

Производит нелинейное преобразование входного сигнала $i = I_s\left(\exp\left(u/nV\right)-1\right)$

В общем случае вида: $y(t) = f\left(x(t)\right)$

Моделирование сводится к:

1) формирование оси времени

t_k

T = 1e-3; tmin = 0; tmax = 100*T;
t = tmin:T:tmax;

2) формирование отсчетов входного сигнала

$x_k = x\left(t_k\right)$

A = 10; f0 = 1e2;
x = A * sin(2*pi * f0 * t);

3) функциональное преобразование каждого отсчета

$y_k = f\left(x_k\right)$

nV = 0.3; Is = 10;
y = Is * (exp(y/nV) - 1);

Нелинейные преобразования отсчетов производятся с помощью встроенных или библиотечных функций

Множество Мандельброта

– множество точек *c* на комплексной плоскости, для которых последовательность

$$z_{n+1} = z_n^2 + c,\ z_0 = 0$$

сходится $|z_n| < R$

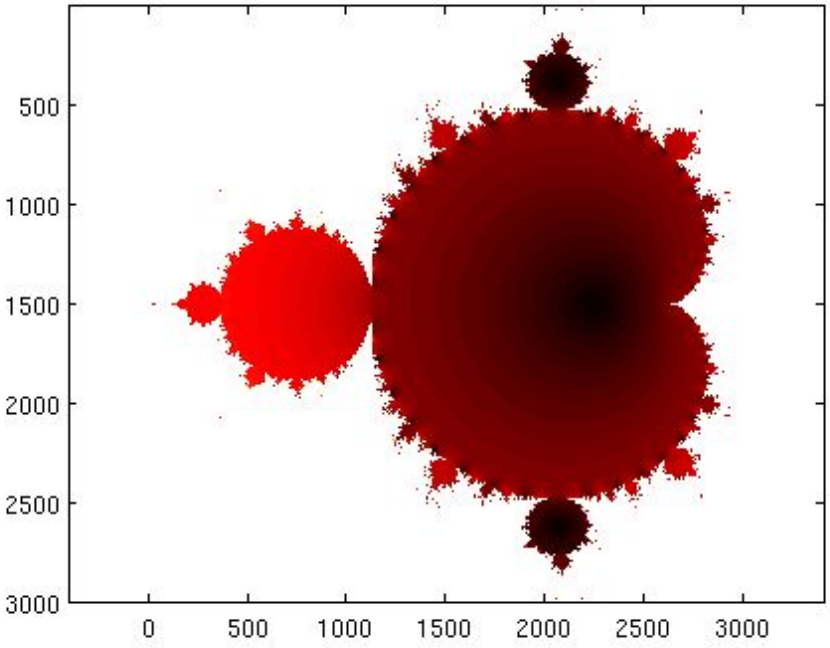

Фрактал — множество, обладающее свойством самоподобия. В математике под фракталами понимают множества точек в евклидовом пространстве, имеющие дробную метрическую размерность (в смысле Минковского или Хаусдорфа), либо метрическую размерность, отличную от топологической.

$c = x + i \cdot y$ **ıe**:

$$\begin{aligned} Z_0 &= 0 \\ Z_1 &= Z_0^2 + c \\ &= x + iy \\ Z_2 &= Z_1^2 + c \\ &= (x+iy)^2 + x + iy \\ &= x^2 + 2ixy - y^2 + x + iy \\ &= x^2 - y^2 + x + (2xy + y)i \end{aligned}$$

$Z_3 = Z_2^2 + c = \ldots$

$$x_{n+1} = {x_n}^2 - {y_n}^2 + p$$
$$y_{n+1} = 2x_n y_n + q$$

Множество Мандельброта

zeros(m, n)
repmat(A,M,N)
find(условие)
real(Z)
imag(Z)
colormap('default')
imagesc(A)
axis equal

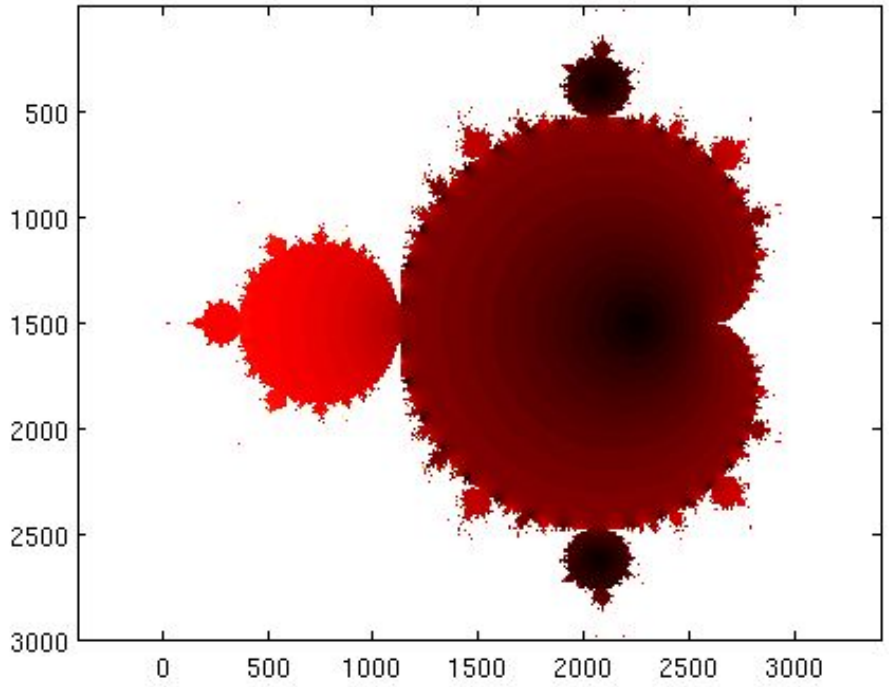


```
clear all; clc; close all
pxls=3000; N=50;

z = zeros(pxls,pxls);
c=…
repmat(linspace(-1.5,0.5,pxls),pxls,1) ...
+ 1i* repmat(linspace(-1,1,pxls)',1,pxls);

for j=1:N
    z = z.^2 + c;
end
thresh = 5;
ind = find(real(z) > thresh);
z(ind) = thresh + 1i*imag(z(ind));
ind = find(real(z) < -thresh);
z(ind) = -thresh + 1i*imag(z(ind));
ind = find(imag(z) > thresh);
z(ind) = real(z(ind)) + thresh*1i;
ind = find(imag(z) < -thresh);
z(ind) = real(z(ind)) - thresh*1i;

colormap(hot);
imagesc(log( abs(z) + 1 )); axis equal
```

fsolve()

Часто возникает задача поиска корня системы нелинейных уравнений

$$F(X)=0,\ X=\{x_m\}_{m=1}^{M},\ X-?$$

$$z=\operatorname{sinc}\left(\sqrt{x^2+y^2}\right)$$

$$z=1\leftrightarrow x,y-?$$

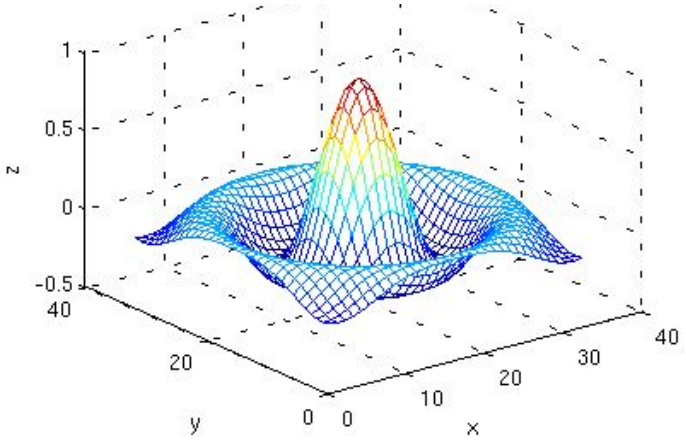

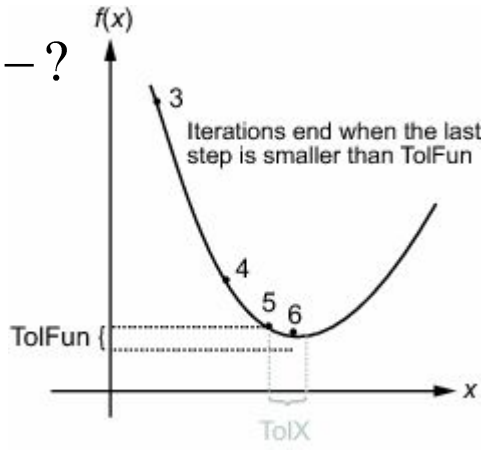

fsolve

Solve system of nonlinear equations

Equation

Solves a problem specified by

$F(x) = 0$

for x, where x is a vector and $F(x)$ is a function that returns a vector value.

Syntax

```
x = fsolve(fun,x0)
x = fsolve(fun,x0,options)
```

main.m

```
X0 = [0.5; 1];
optnew = optimset('TolFun', 1e-20);
X = fsolve(@F, X0, optnew)
```

F.m

```
function f = F( X )
    f = sinc(sqrt(X(1)^2 + X(2)^2)) - 1;
end
```

$$X_1=x;\ X_2=y;$$

$$F(X)=\operatorname{sinc}\left(\sqrt{{X_1}^2+{X_2}^2}\right)-1$$

Результат:

```
X =  1.0e-08 *   -0.0095
                 -0.6332
```

fminsearch()

Схожая задача – поиск минимума/максимума функции

$$F(X),\ X=\left\{x_m\right\}_{m=1}^{M},\ X_0=\arg\min\left(F(X)\right)-?$$

$$z=\operatorname{sinc}\left(\sqrt{x^2+y^2}\right)$$

$$\max(z)\leftrightarrow x,y-?$$

fminsearch

Find minimum of unconstrained multivariable function using derivative-free method

Syntax

```
x = fminsearch(fun,x0)
x =
fminsearch(fun,x0,options)
```

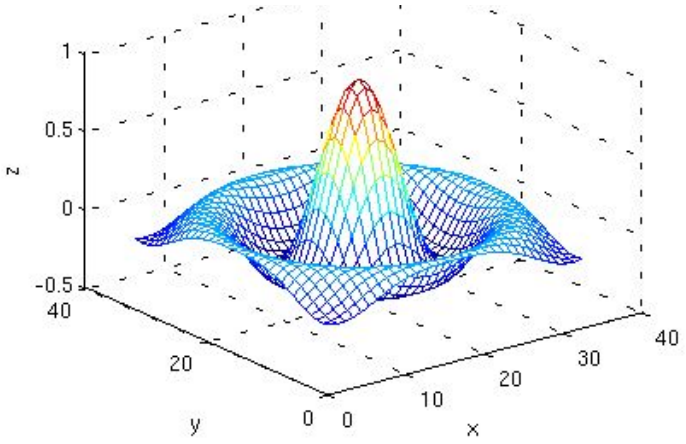

$$X_1=x;\ X_2=y;$$

$$F(X)=-\operatorname{sinc}\left(\sqrt{{X_1}^2+{X_2}^2}\right)$$

main.m

```
X0 = [0.5; 1];
optnew = optimset('TolFun', 1e-20);
X = fminsearch(@F, X0, optnew)
```

F.m

```
function f = F( X )
    f = -sinc(sqrt(X(1)^2 + X(2)^2));
end
```

Результат:

```
X =  1.0e-07 *  -0.1338
                -0.0701
```

Замкнутые звенья

Замкнутое инерционное нелинейное звено – система с ОС с неинерционным нелинейным звеном

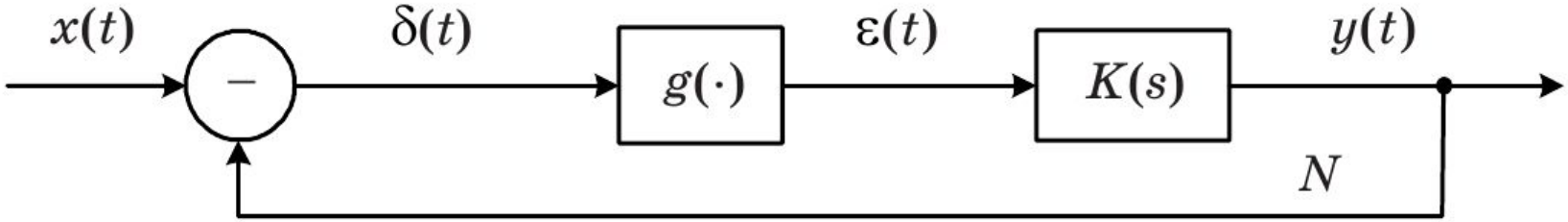

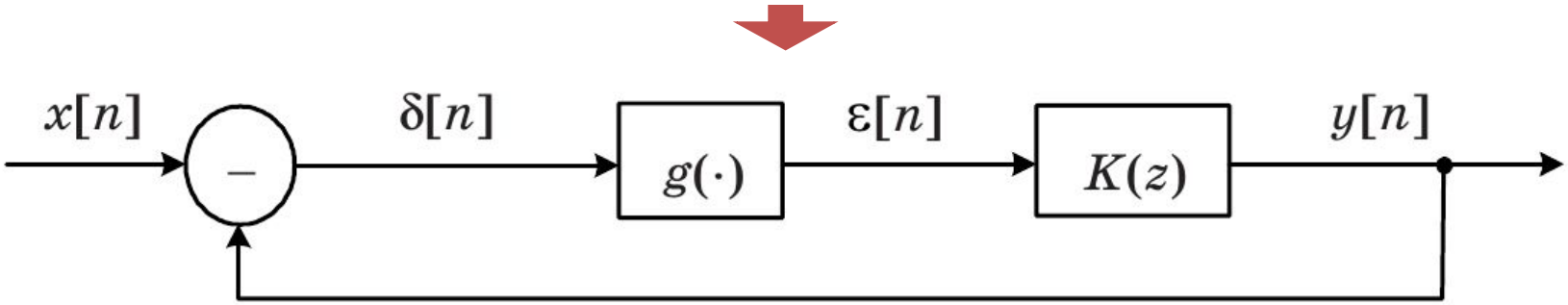

$$\delta_n = x_n - y_n,\ \varepsilon_n = g\left(\delta_n\right) = g\left(x_n - y_n\right),$$

– выход «дискриминатора»

$$a_N y_{n-N} + \ldots + a_0 y_n = b_M \varepsilon_{n-M} + \ldots + b_0 \varepsilon_n$$

– фильтр

$$a_0 y_n - b_0 \varepsilon_n = b_M \varepsilon_{n-M} + \ldots + b_1 \varepsilon_{n-1} - a_N y_{n-N} - \ldots - a_1 y_{n-1}$$

$$a_0 y_n - b_0 g\left(x_n - y_n\right) = b_M \varepsilon_{n-M} + \ldots + b_1 \varepsilon_{n-1} - a_N y_{n-N} - \ldots - a_1 y_{n-1}$$

Замкнутые звенья

Получаем:

$$a_0 y_n - b_0 g\left(x_n - y_n\right) = \xi_n, \qquad \xi_n = b_M \varepsilon_{n-M} + \ldots + b_1 \varepsilon_{n-1} - a_N y_{n-N} - \ldots - a_1 y_{n-1}$$

нелинейное уравнение, возможно трансцендентное

известное к моменту n число

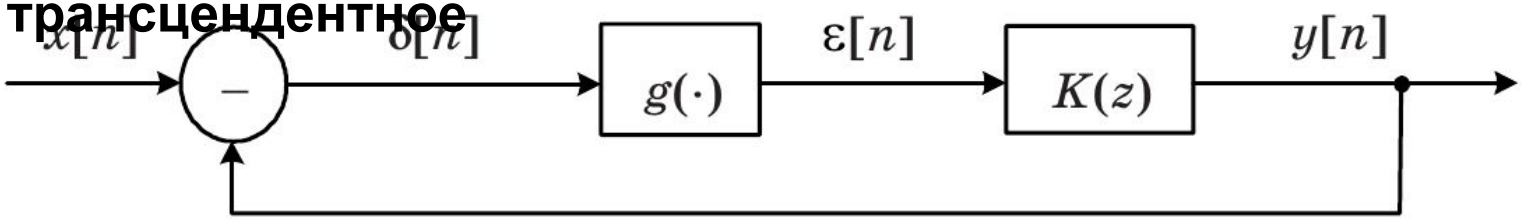

Lifehack*

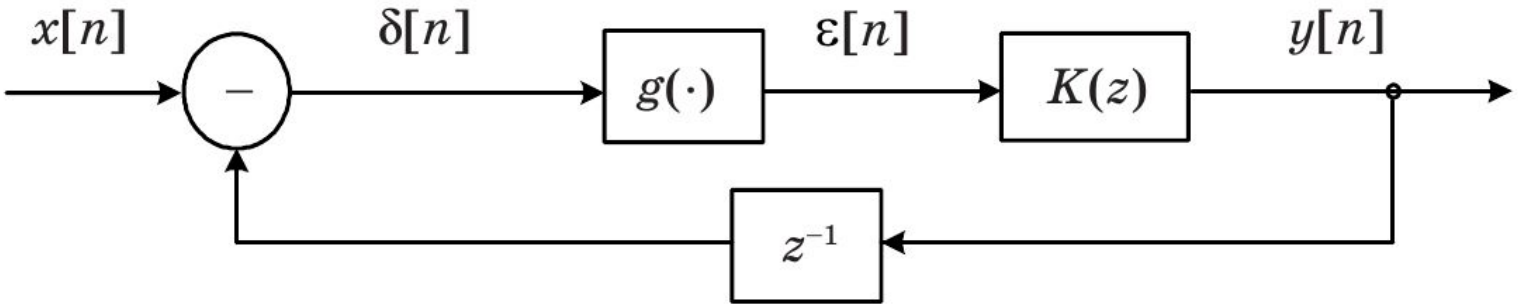

$$a_0 y_n = \xi_n + b_0 g\left(x_{n-1} - y_{n-1}\right)$$

*** «хитрости жизни», «народная мудрость» или полезный совет**

Метод Эйлера

В общем случае требуется решение системы нелинейных дифференциальных уравнений

$$\frac{dY}{dt} = F(t,Y),\ Y(t_0) = Y_0,\ Y(t) = \{y_m(t)\}_{m=1}^{M}$$

Есть множество методов решения дифуров. Особую роль играют методы конечных разностей, основанные на замене производных разностными схемами.

Метод Эйлера

Идея – заменить производную по времени на конечную разность

$$Y_n = Y_{n-1} + T \cdot F\left(t_{n-1}, Y_{n-1}\right)$$

```
y = y0;
for t = tmin:T:tmax;
   y = y + T*F(t,y);
   ...
end
```

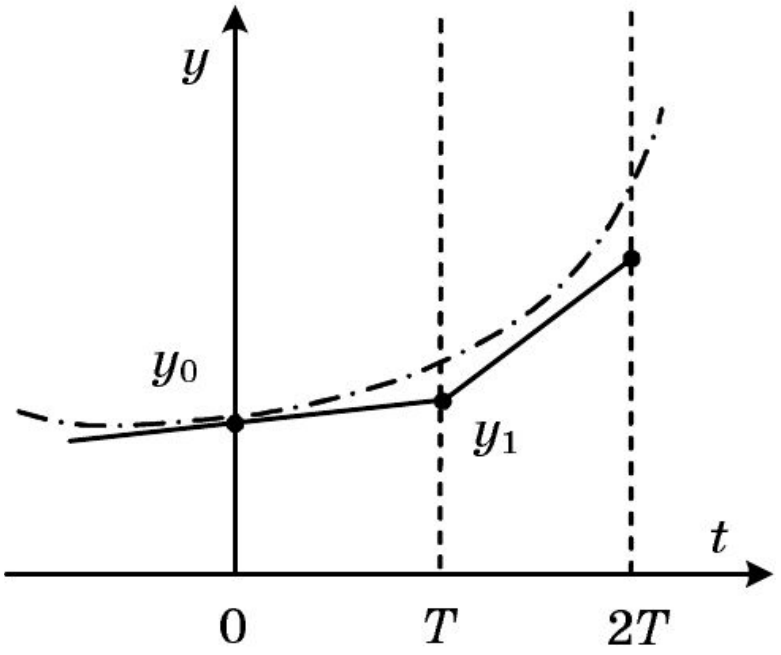

Ошибка пропорциональна T^2

Расширенный метод Эйлера

Расширенный метод Эйлера

$$Y_n = Y_{n-1} + \frac{T}{2} \cdot \left\{ F\left(t_{n-1}, Y_{n-1}\right) + F\left(t_n, \%Y_n\right) \right\} \qquad \%Y_n = Y_{n-1} + T \cdot F\left(t_{n-1}, Y_{n-1}\right)$$

Идея – выбрать наклон как среднее между наклоном на прошлом шаге и наклоном по простому методу Эйлера

```
y = y0;
for t = tmin:T:tmax;
   yt = y + T*F(t,y);
   y = y + T/2*(F(t,y) + F(t, yt));
   ...
end
```

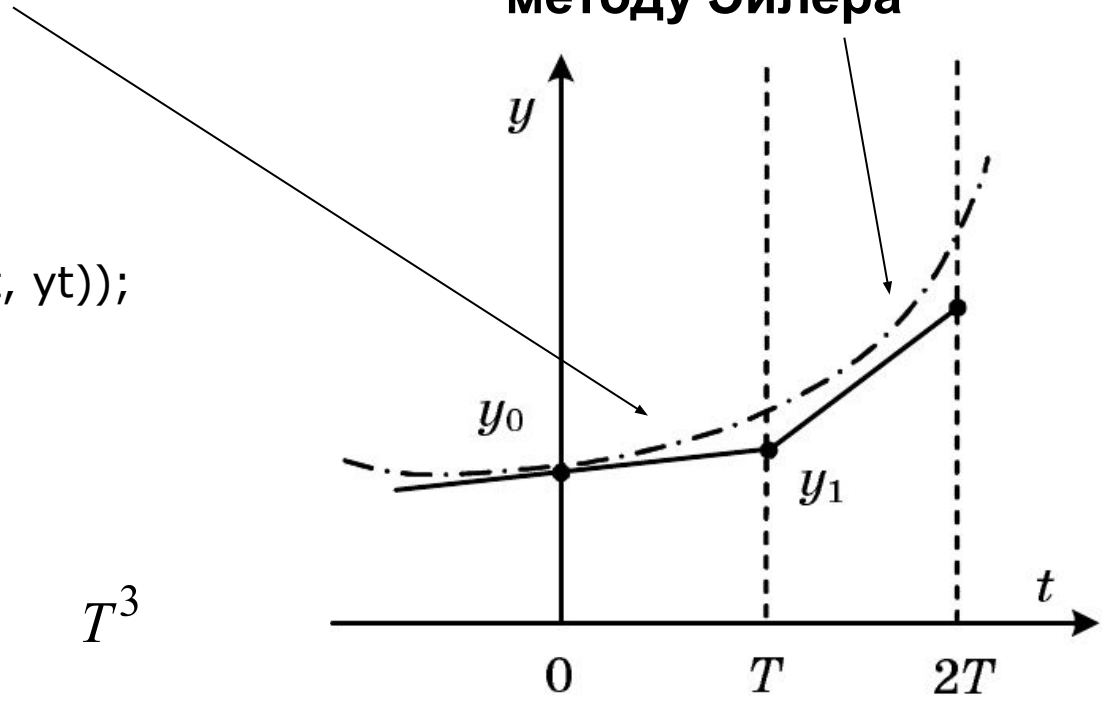

Ошибка пропорциональна T^3

Метод Рунге-Кутта

Метод Рунге-Кутта 4 порядка

$$Y_{n+1} = Y_n + \frac{T}{6} \cdot \left\{ K_0 + 2K_1 + 2K_2 + K_3 \right\}$$

$$K_0 = F\left(nT, Y_n\right)$$

$$K_1 = F\left(\left(n + \frac{1}{2}\right)T, Y_n + \frac{1}{2}K_0\right)$$

$$K_2 = F\left(\left(n + \frac{1}{2}\right)T, Y_n + \frac{1}{2}K_1\right)$$

$$K_3 = F\left((n+1)T, Y_n + K_2\right)$$

Ошибка пропорциональна T^5

Пример:

$$y'' + 4y = \cos 3t,\ y(0) = 0.8,\ y'(0) = 2$$

После замены переменных:

$$\begin{cases} y_1' = y_2, \\ y_2' = \cos 3t - 4y_1 \end{cases}$$

main.m:

```
T = 0.1; tmin = 0; tmax = 3;
Y0 = [0.8 2]; % Начальные условия
[t, Y] = ode45('diffs', tmin:T:tmax, Y0);
plot(t, Y); grid on
legend('Y_1 = y', 'Y_2 = dy/dt');
```

diffs.m:

```
function dY = diffs( t, Y )
dY = Y(:);
dY(1) = Y(2);
dY(2) = cos(3*t) - 4*Y(1);
end
```

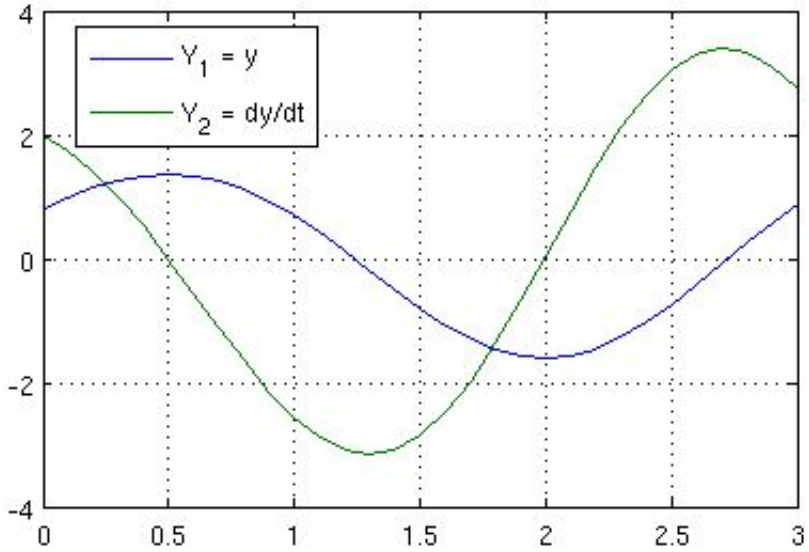

Решатели

- **ode45** – одношаговые явные методы Рунге Кутта 4 го и 5 го порядков. Использовать в первую очередь. Дает хорошие результаты, если система нежесткая.
- **ode23** – одношаговые явные методы Рунге Кутта 2 го и 4 го порядков. Может дать выигрыш в скорости решения.
- **ode113** – многошаговый метод Адамса–Башворта–Мултона переменного порядка класса предиктор–корректор. Это адаптивный метод, который может обеспечить высокую точность решения.
- **ode15s** – многошаговый метод переменного порядка. Применять, если ode45 не справилась.
- **ode23s** – одношаговый метод, использующий модифицированную формулу Розенброка 2 го порядка. Высокая скорость, низкая точность, жесткая система
- **ode23t** – неявный метод трапеций с интерполяцией. Для колебательных систем.
- **ode23tb** – неявный метод Рунге–Кутта, альтернатива ode15s.
- **bvp4c** – для уравнений вида y’ = f(t,y), F(y(a), y(b),p) = 0 (полная форма системы уравнений Коши). Для задания граничных условий как в начале, так и в конце интервала решения.
- **pdepe** – служит для решения систем параболических и эллиптических дифференциальных уравнений в частных производных.

Аттрактор Лоренца

Описывается системой уравнений:

$$y_1' = -\sigma y_1 + \sigma y_2,$$

$$y_2' = r y_1 - y_2 - y_1 y_3,$$

$$y_3' = y_1 y_2 - b y_3$$

$$r = 28;\ \sigma = 10;\ b = 8/3;$$

$$y_1(0) = 10,\ y_2(0) = 10,$$

$$y_3(0) = 10,$$

```
function F = loren(t, y)
r = 28;
sigma = 10;
b = 8/3;
F = [sigma*(y(2)-y(1));
     r*y(1)-y(2)-y(1)*y(3);
     y(1)*y(2)-b*y(3)];
```

```
clear all; clc; close all
% Начальные условия
Y0 = [10;10;10];

T = 0.01;
tmin = 0; tmax = 20;

% Решение методом Рунге-Кутта 4-5 пор.
[t, Y] = ode45(@loren, tmin:T:tmax, Y0);

figure(1)
subplot(2,2,1); plot(t, Y(:,1)); title('y_1(t)');
subplot(2,2,2); plot(t, Y(:,2)); title('y_2(t)');
subplot(2,2,3); plot(t, Y(:,3)); title('y_3(t)');
subplot(2,2,4); plot(Y(:,1),Y(:,2));
xlabel('y_1(t)'); ylabel('y2_(t)');

figure(2)
plot3(Y(:,1), Y(:,2), Y(:,3), '.');
grid on; xlabel('y_2')
ylabel('y_1'); zlabel('y_3');
```

Аттрактор Лоренца

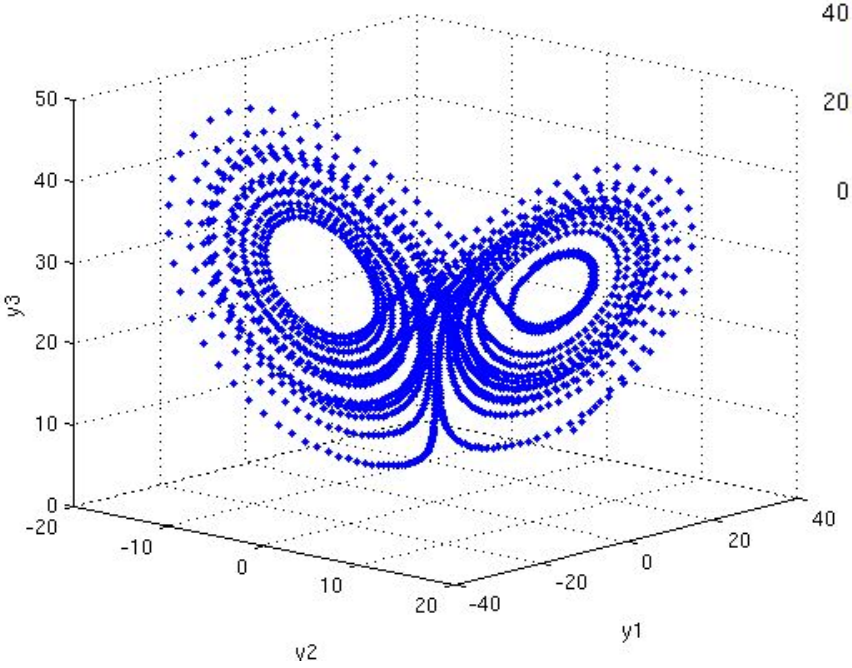

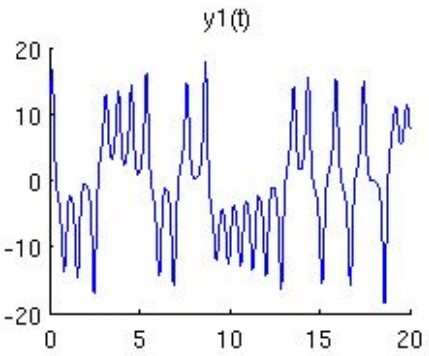

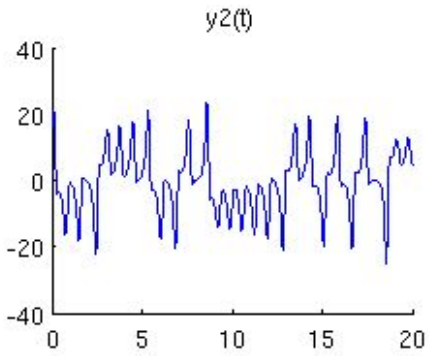

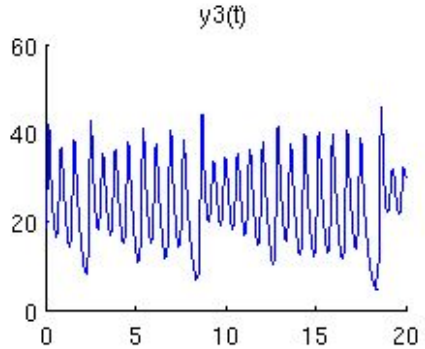

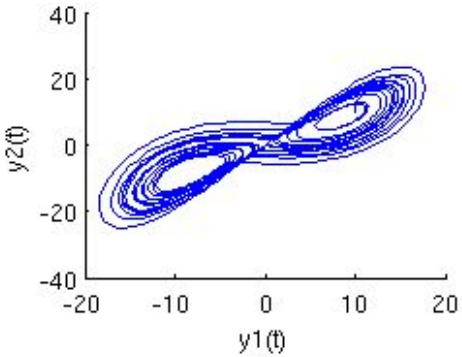

Аттрактор Лоренца

Изменим на 1%
начальные условия:

```
Y0 = [10;10;10] * (1+1/100);
```

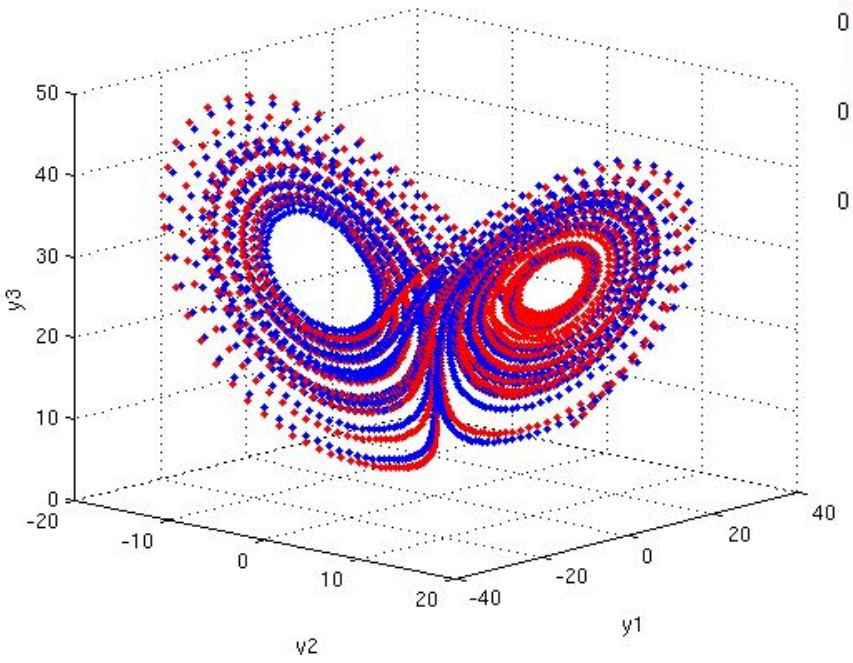

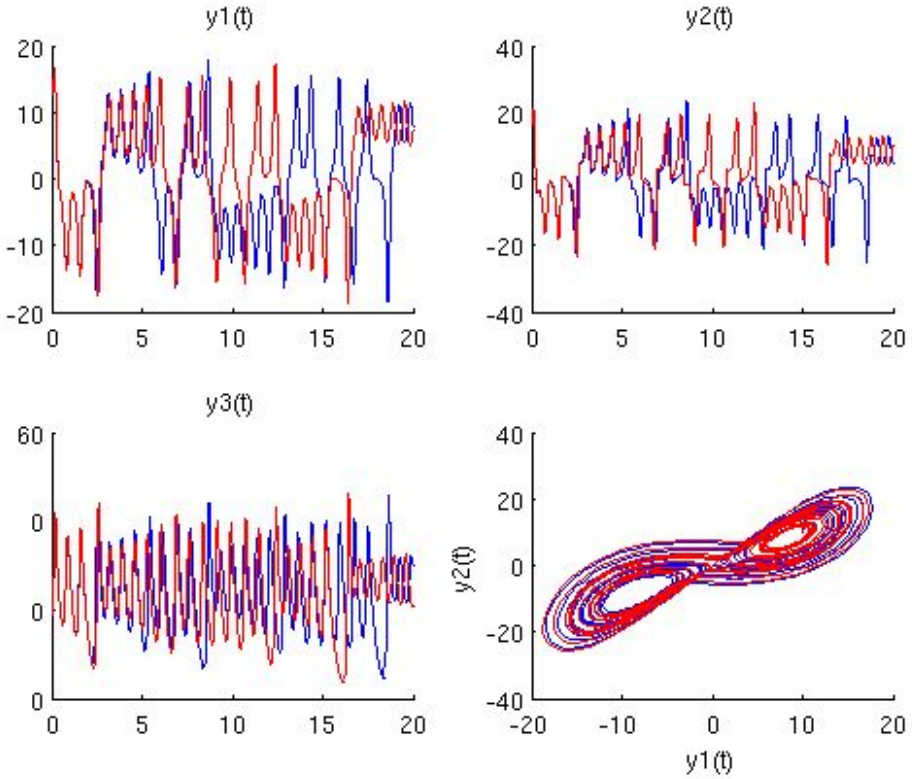

Кафедра Радиотехнических систем (РТС)

Математическое моделирование РТУ и С

e-mail: ZakharovaYV@mpei.ru